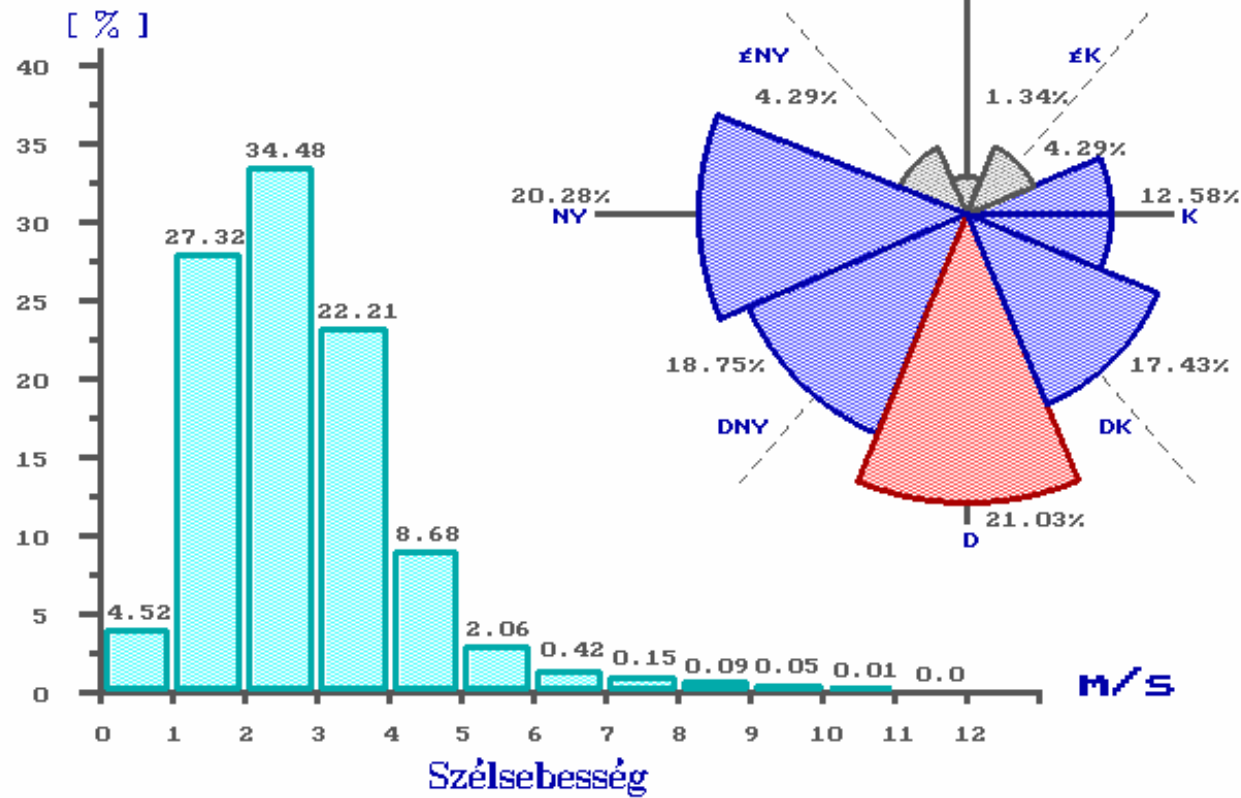
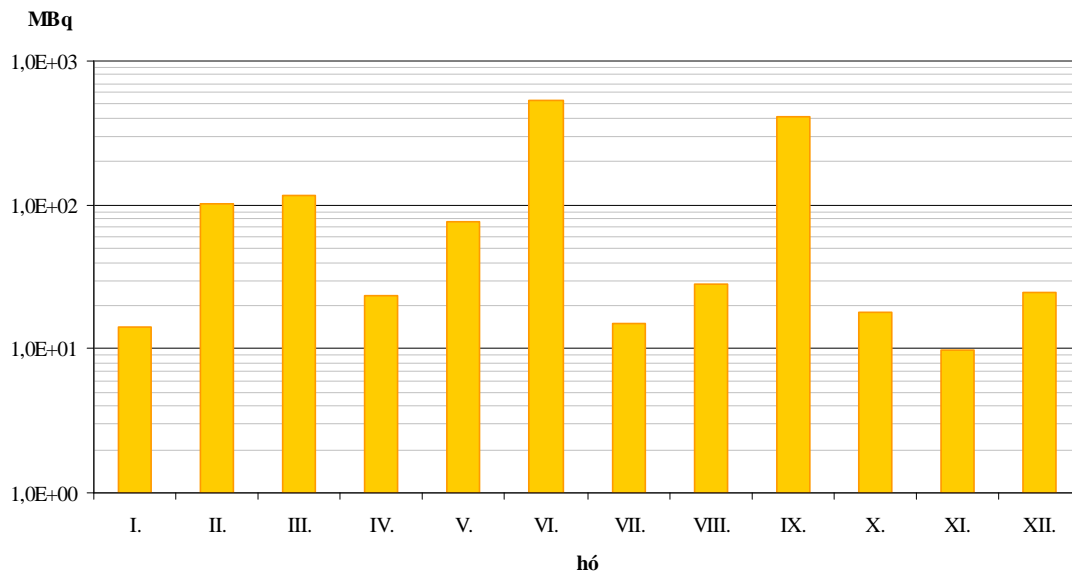


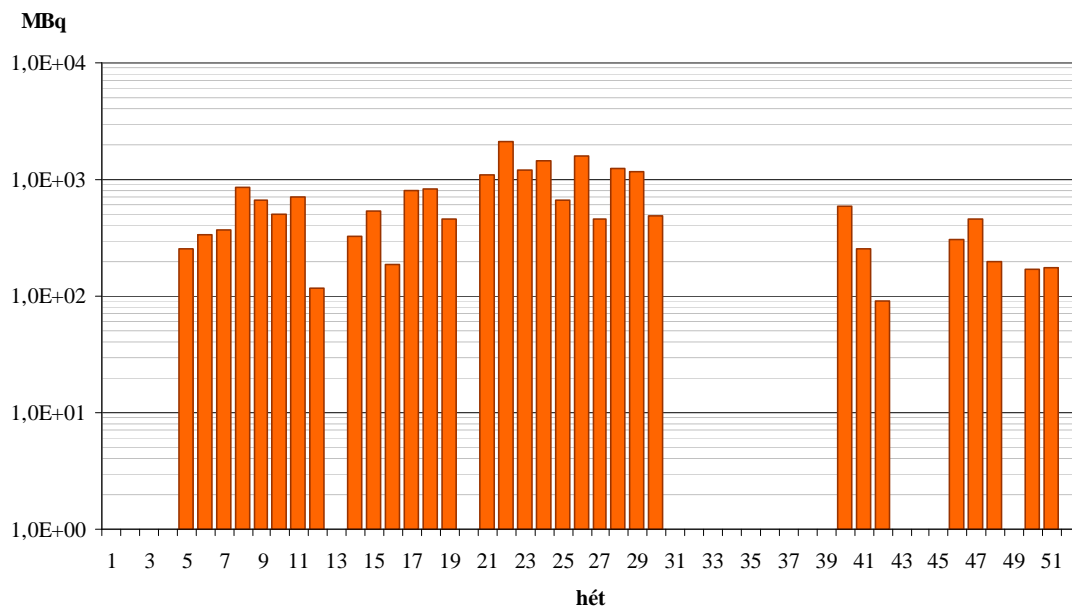
**Szélirány és szélesség eloszlás
2008-ban**



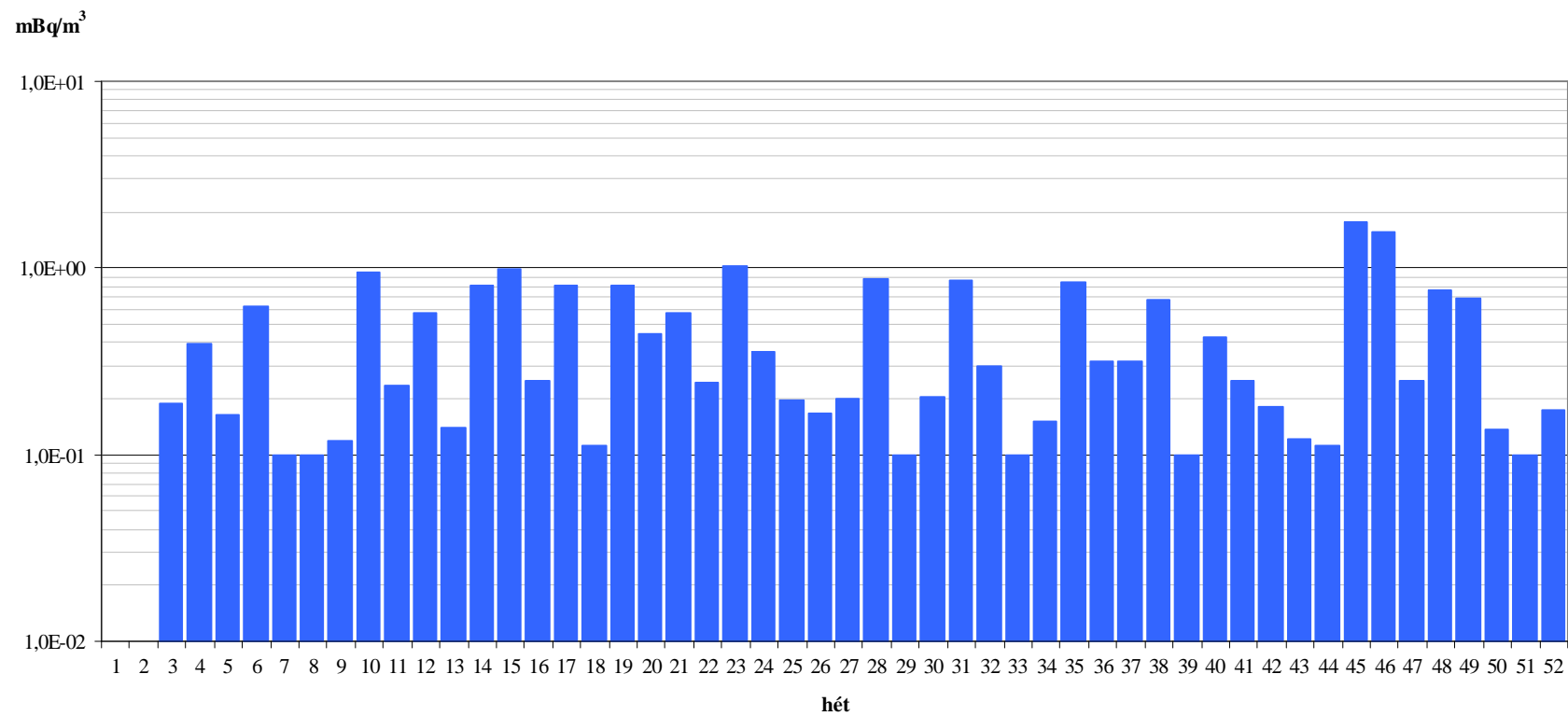
1. ábra. Szélirány és szélesség gyakoriság elosztása a KFKI telephelyén 2008-ban



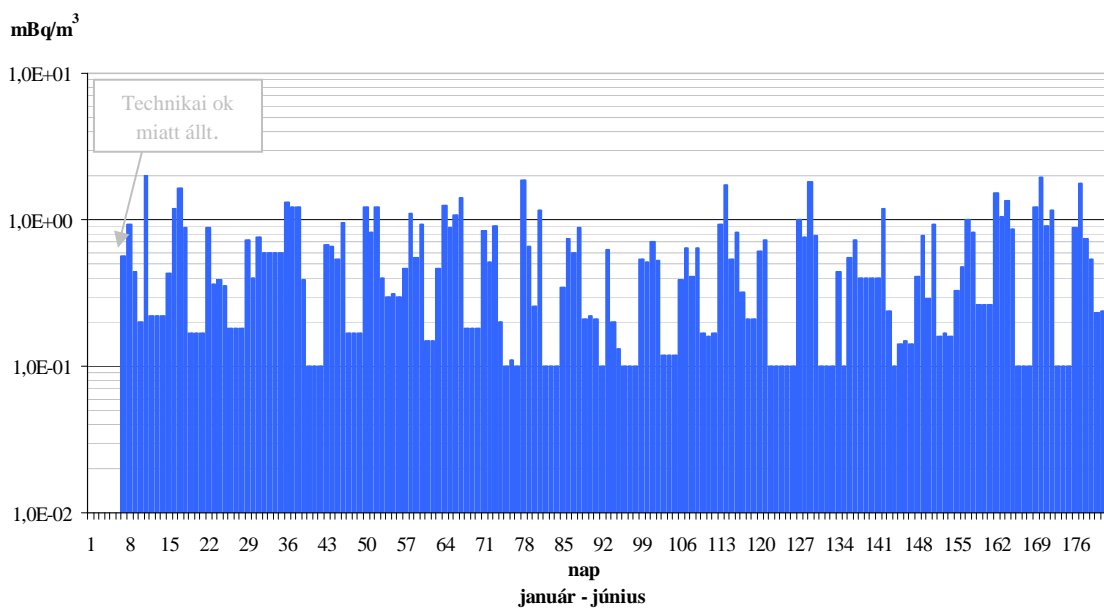
2/a ábra. Az Izotóp Intézet Kft. ^{125}I kibocsátása havi bontásban



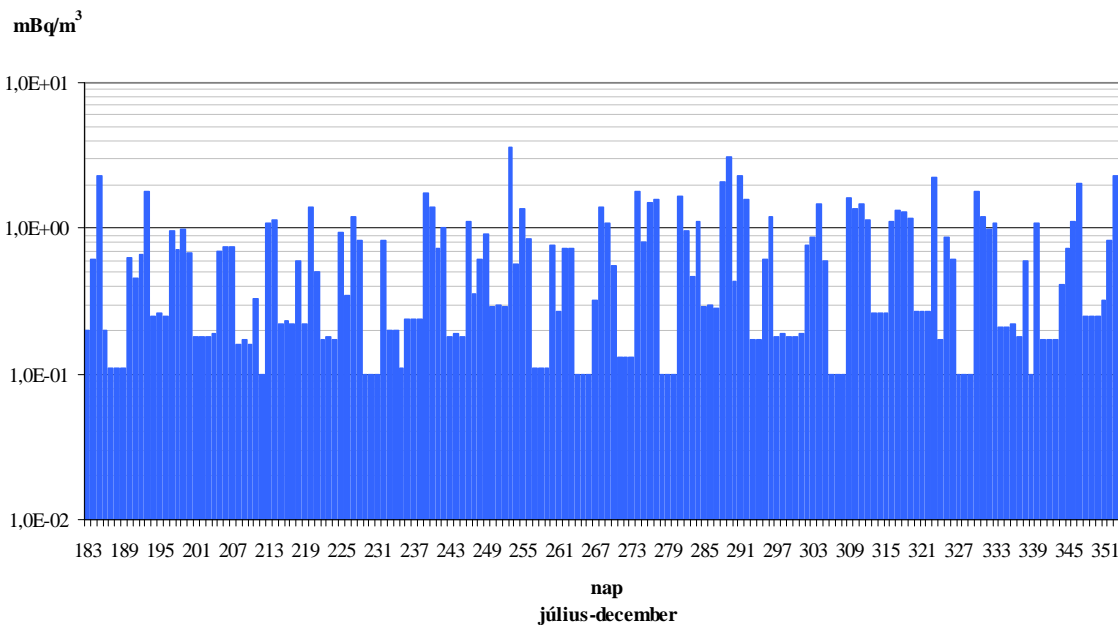
2/b ábra. Az Izotóp Intézet Kft. ^{131}I kibocsátása heti bontásban



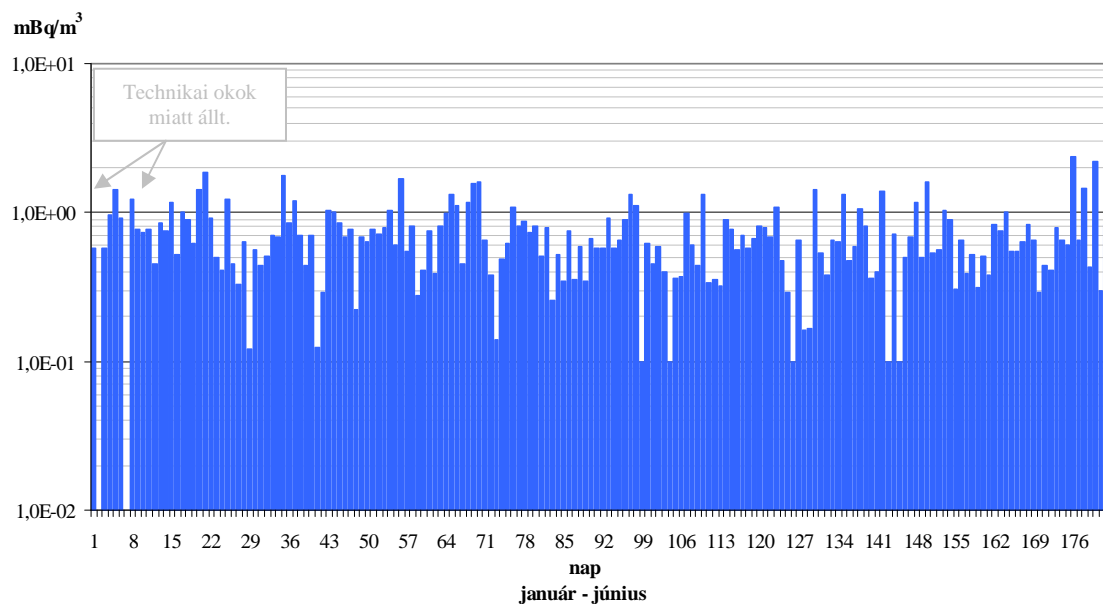
3. ábra. A levegő radioaeroszol összbeta heti átlagos aktivitás-koncentrációja 2008-ben az 1. állomáson.(a kimutatási határ 0,1 mBq/m³)



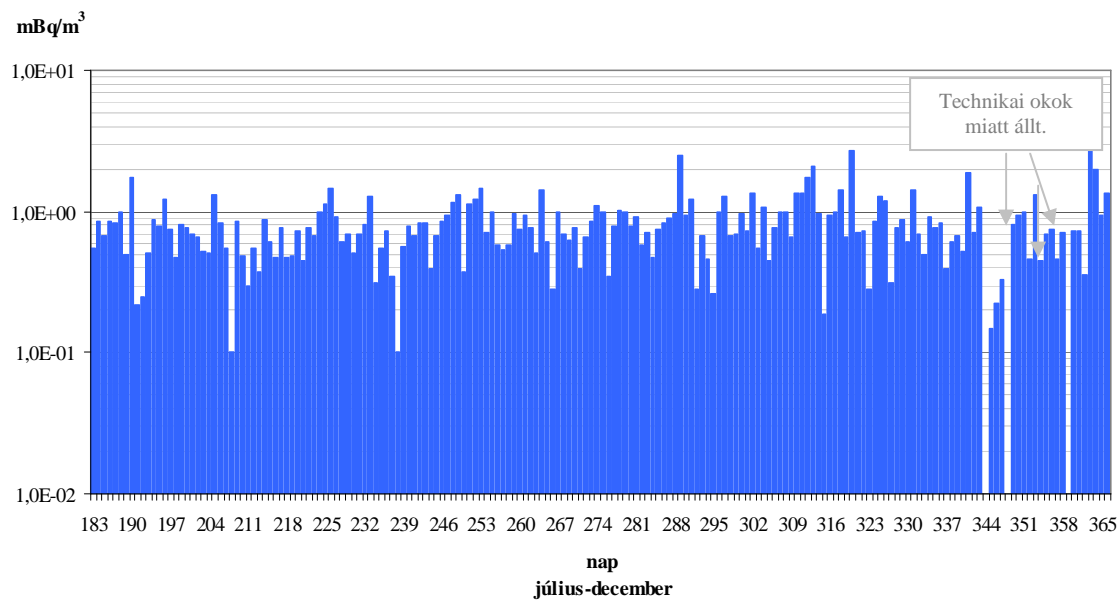
4/a ábra. A levegő radioaeroszol napi átlagos összbeta aktivitás-koncentrációjának alakulása a 2. állomáson.
(2008. I. félév, a kimutatási határ $0,1 \text{ mBq/m}^3$)



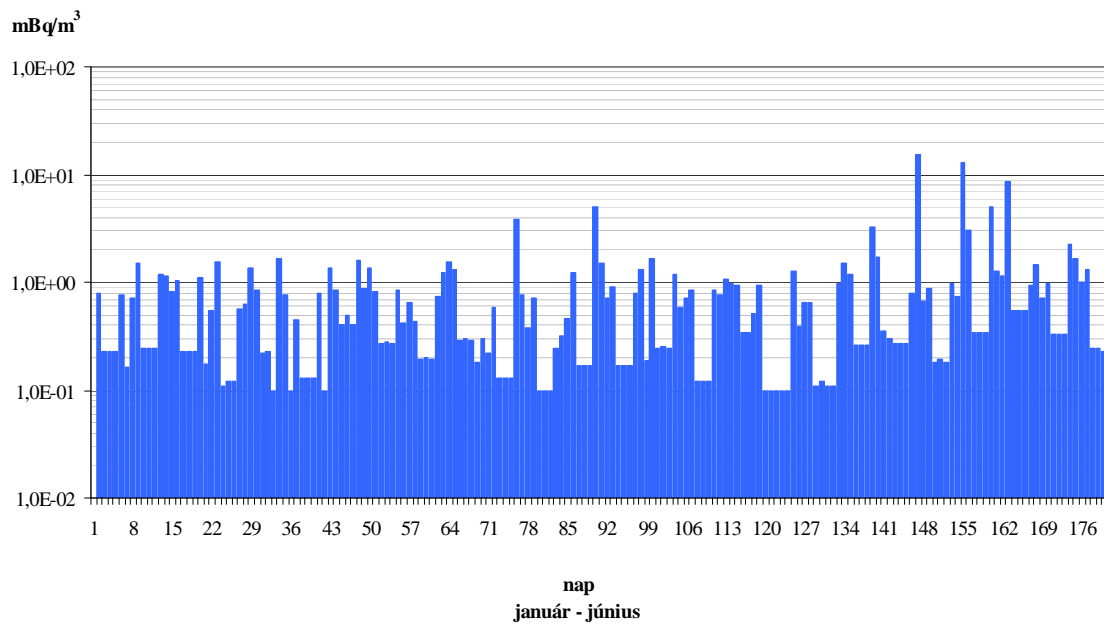
4/b ábra. A levegő radioaeroszol napi átlagos összbeta aktivitás-koncentrációjának alakulása a 2. állomáson.
(2008. II. félév, a kimutatási határ $0,1 \text{ mBq/m}^3$)



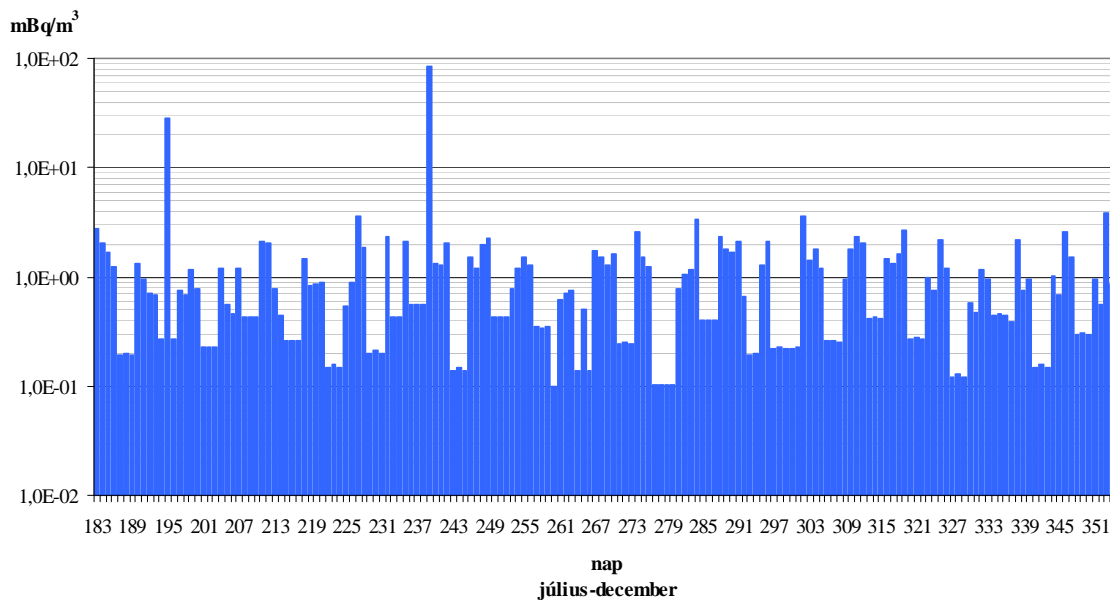
5/a ábra. A levegő radioaeroszol napi átlagos összbeta aktivitás-koncentrációjának alakulása az 5. állomáson.
(2008. I. félév, a kimutatási határ 0,1 mBq/m³)



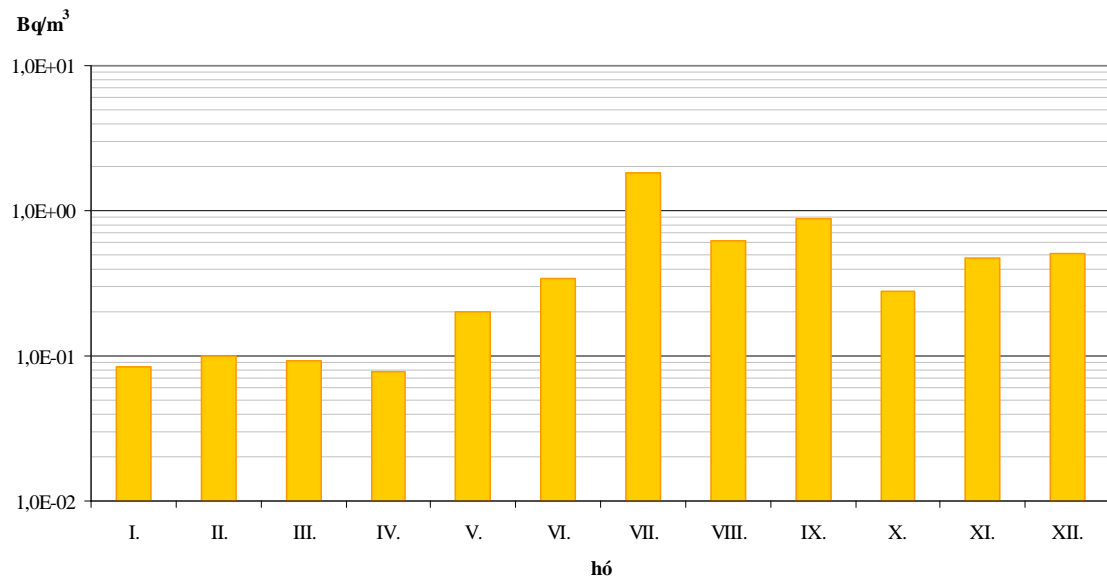
5/b ábra. A levegő radioaeroszol napi átlagos összbeta aktivitás-koncentrációjának alakulása az 5. állomáson.
(2008. II. félév, a kimutatási határ 0,1 mBq/m³)



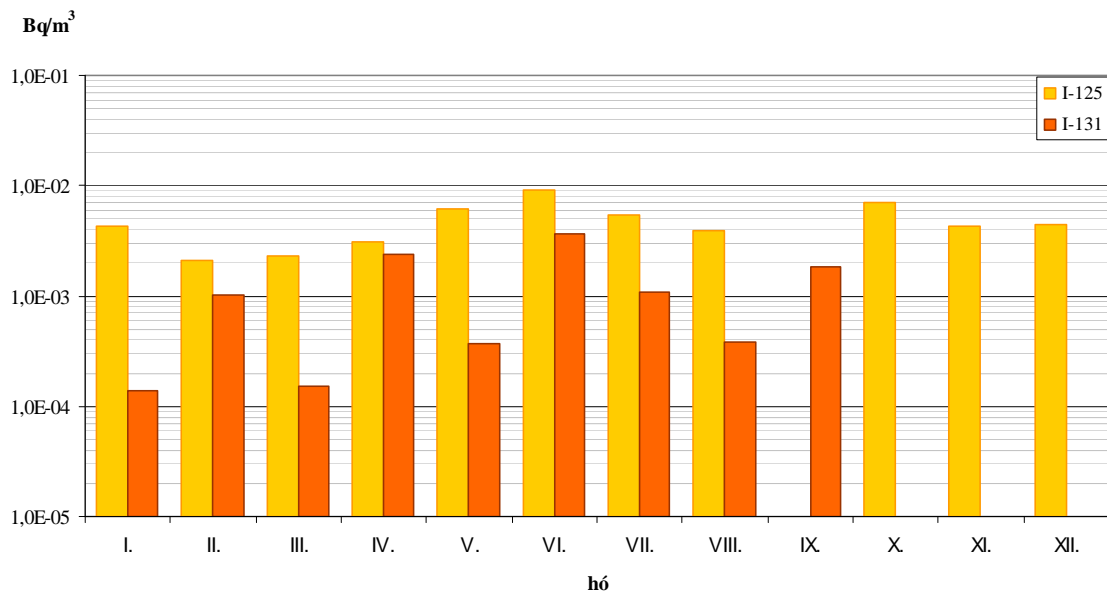
6/a ábra. A levegő radioaeroszol napi átlagos összbéta aktivitás-koncentrációjának alakulása a 6. állomáson.
(2008. I. félév, a kimutatási határ 0,1 mBq/m³)



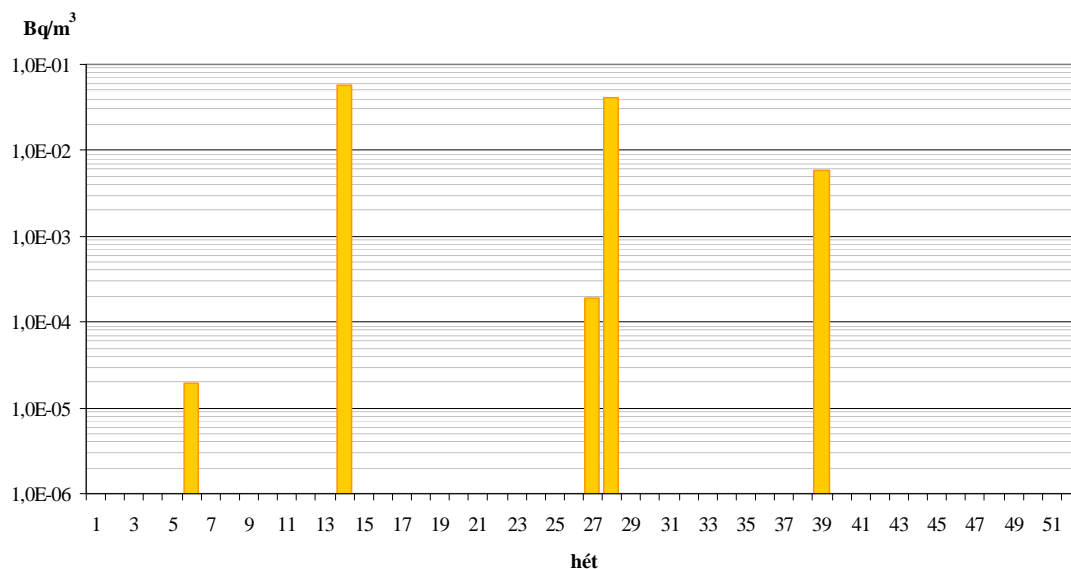
6/b ábra. A levegő radioaeroszol napi átlagos összbéta aktivitás-koncentrációjának alakulása a 6. állomáson.
(2008. II. félév, a kimutatási határ 0,1 mBq/m³)



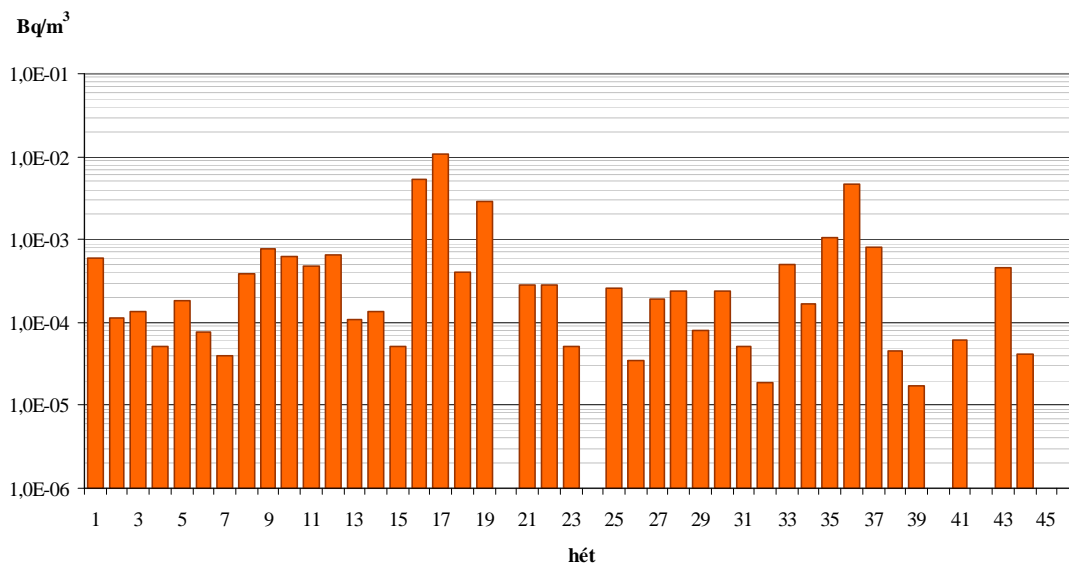
7/a ábra. A levegő radio-jódgőz (elemi) havi átlagos összbeta aktivitás-koncentrációjának alakulása 2008-ban a 6. állomáson.



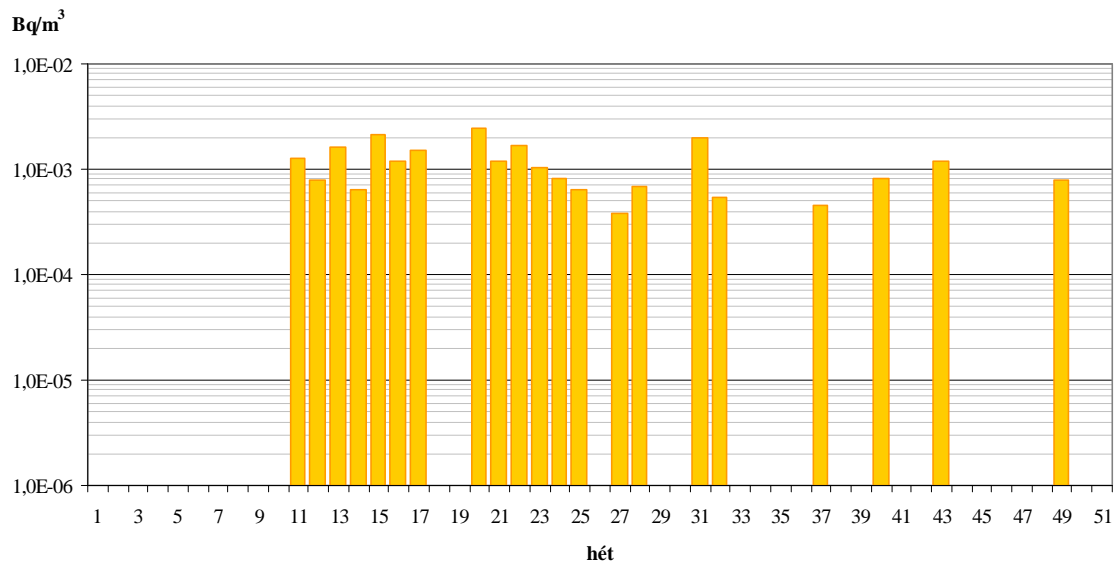
7/b ábra. A levegő szerves jódgőz aktivitás havi átlagos koncentrációja 2008-ban a 6. állomáson.



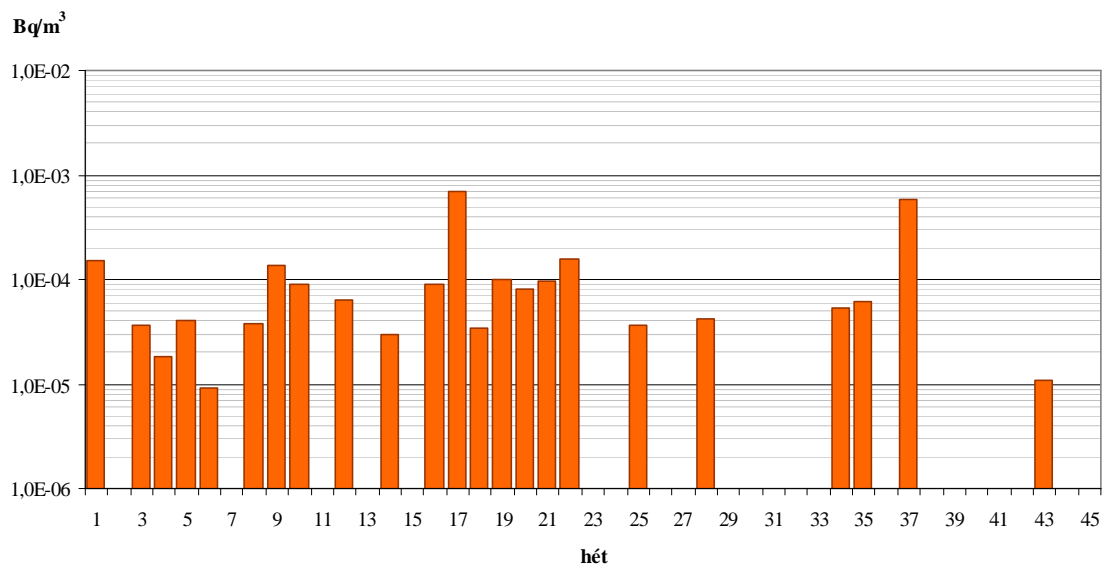
8/a ábra. A levegő ^{125}I (elemi + szerves fázis) tartalma *szénszűrős nagytérfogatú* (10.000 m³/hét) mintavételezéssel az **1. állomáson** (a kimutatási határ 200 $\mu\text{Bq}/\text{m}^3$)



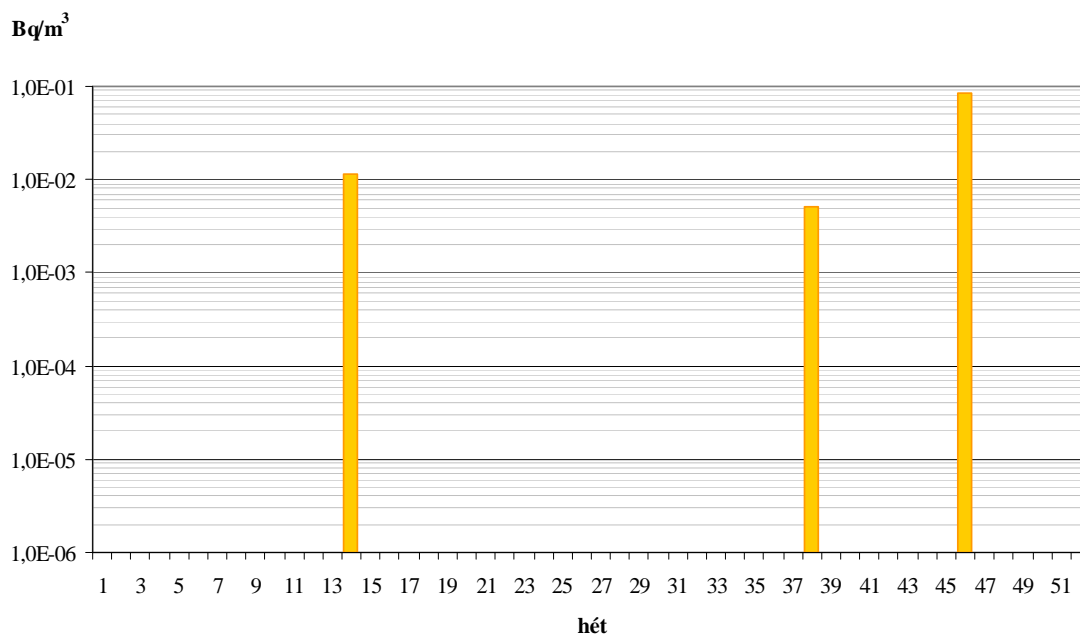
8/b ábra. A levegő ^{131}I (elemi + szerves fázis) tartalma *szénszűrős nagytérfogatú* (10.000 m³/hét) mintavételezéssel az **1. állomáson** (a kimutatási határ 20 $\mu\text{Bq}/\text{m}^3$)



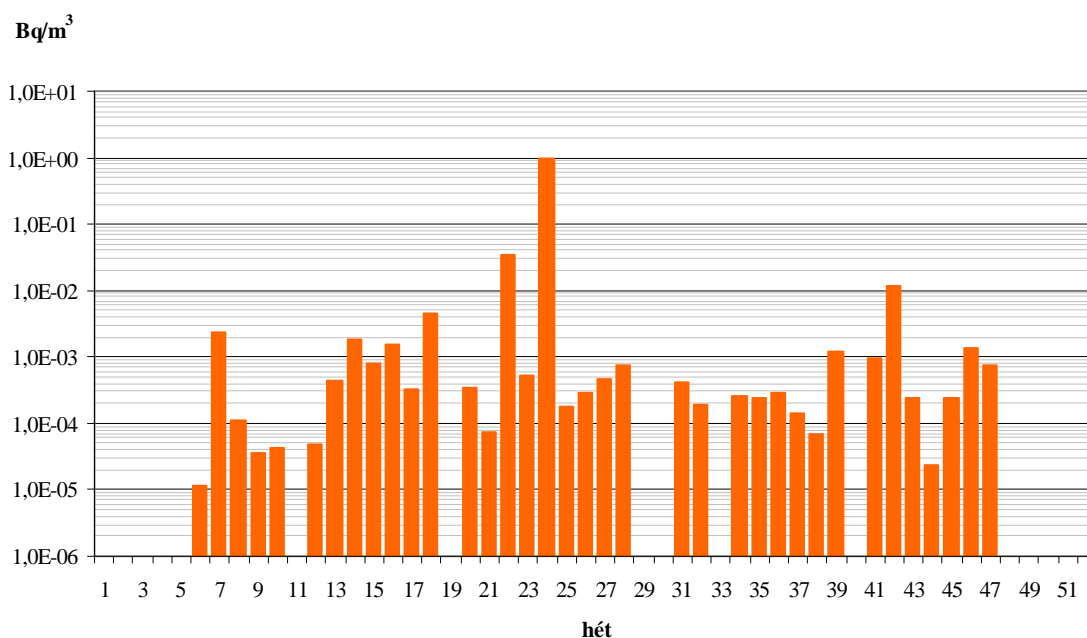
8/c ábra. A levegő ^{125}I (aeroszol) tartalma aeroszol szűrőn történő nagytérfogatú (10.000 m³/hét) mintavételezéssel az **1. állomáson** (a kimutatási határ 15 $\mu\text{Bq}/\text{m}^3$)



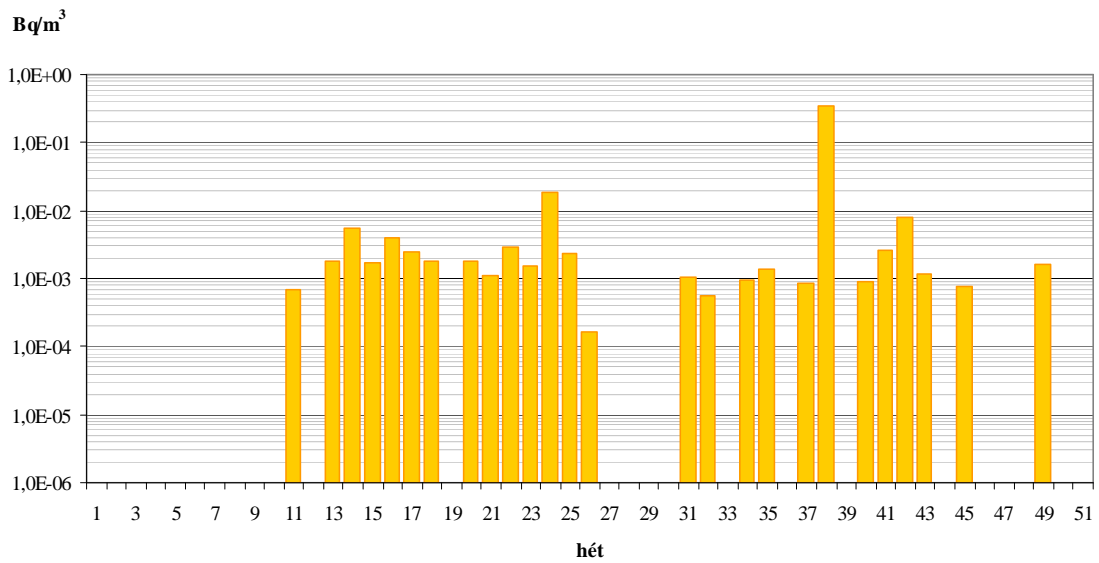
8/d ábra. A levegő ^{131}I (aeroszol) tartalma aeroszol szűrőn történő nagytérfogatú (10.000 m³/hét) mintavételezéssel az **1. állomáson** (a kimutatási határ 10 $\mu\text{Bq}/\text{m}^3$)



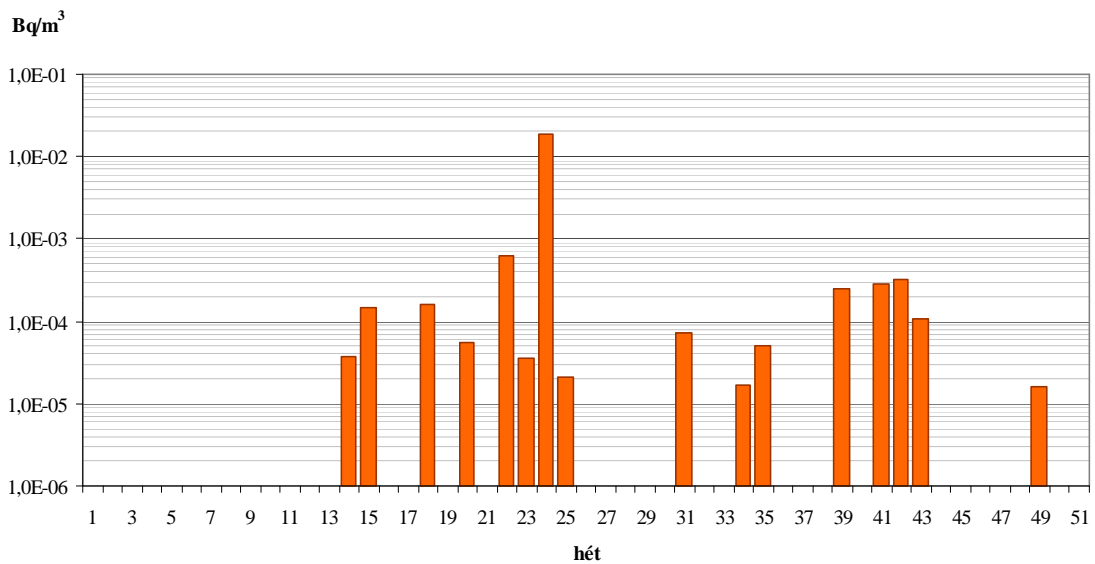
9/a ábra. A levegő ^{125}I (elemi + szerves fázis) tartalma *szénszűrős nagytérfogatú* (5.000 m³/hét) mintavételezéssel a **referencia állomáson** (a kimutatási határ 200 $\mu\text{Bq}/\text{m}^3$)



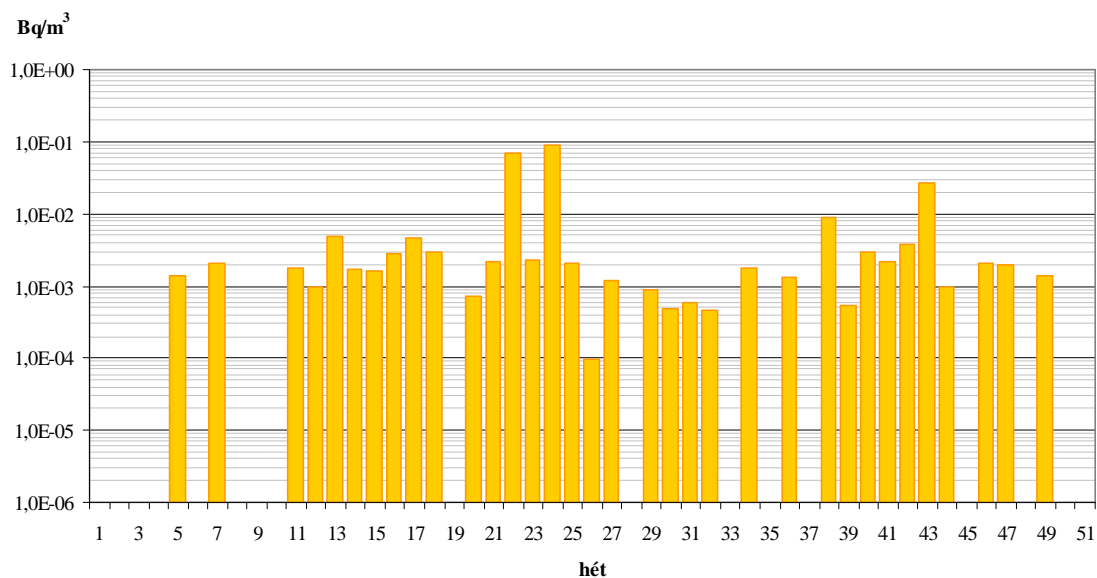
9/b ábra. A levegő ^{131}I (elemi + szerves fázis) tartalma *szénszűrős nagytérfogatú* (5.000 m³/hét) mintavételezéssel a **referencia állomáson** (a kimutatási határ 20 $\mu\text{Bq}/\text{m}^3$)



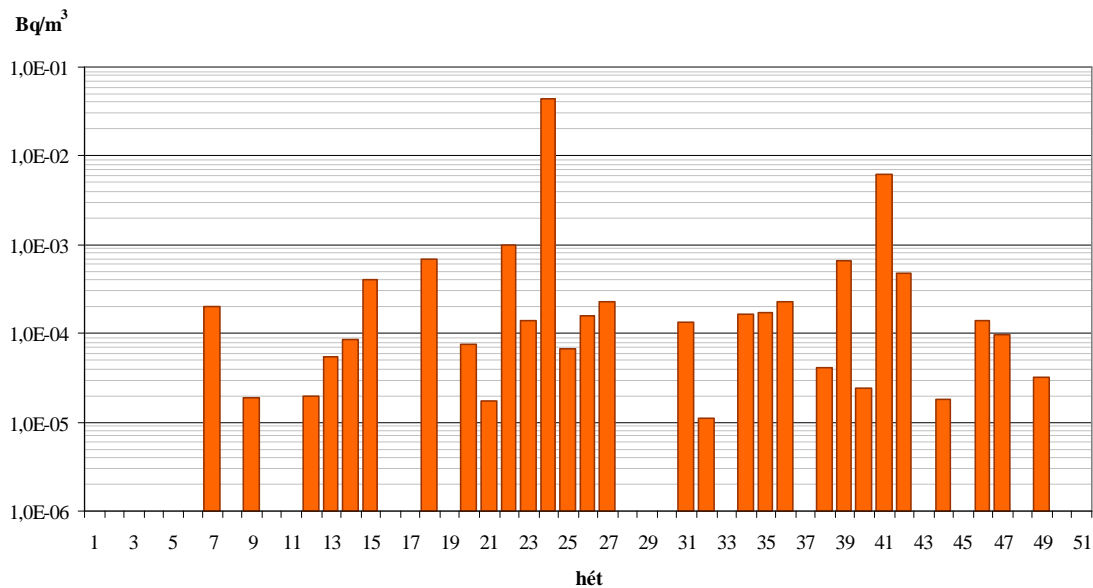
9/c ábra. A levegő ^{125}I (aeroszol) tartalma *aeroszol szűrőn történő nagytérfogatú* (5.000 m³/hét) mintavételezéssel a **referencia állomáson** (a kimutatási határ 15 $\mu\text{Bq}/\text{m}^3$)



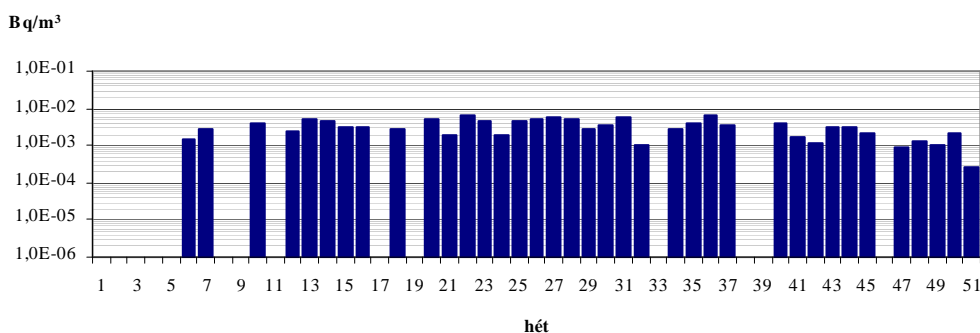
9/d ábra. A levegő ^{131}I (aeroszol) tartalma *aeroszol szűrőn történő nagytérfogatú* (5.000 m³/hét) mintavételezéssel a **referencia állomáson** (a kimutatási határ 10 $\mu\text{Bq}/\text{m}^3$)



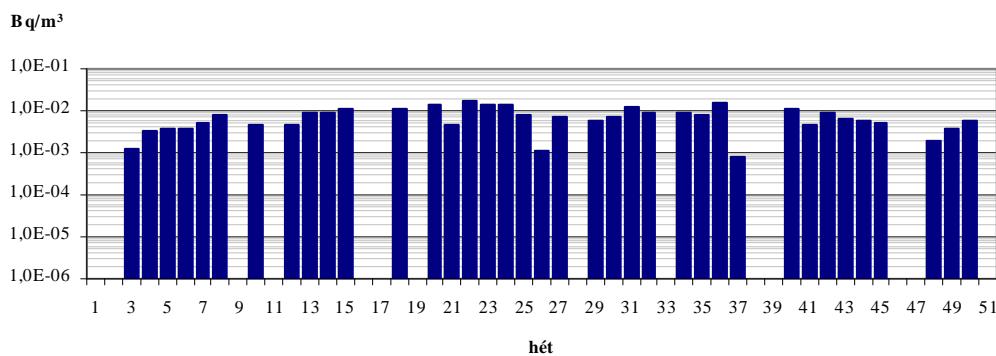
9/e ábra. A levegő ^{125}I tartalma *elemi jód szűrőn történő nagytérfogatú* (5.000 m³/hét) mintavételezéssel a **referencia állomáson** (a kimutatási határ 15 $\mu\text{Bq}/\text{m}^3$)



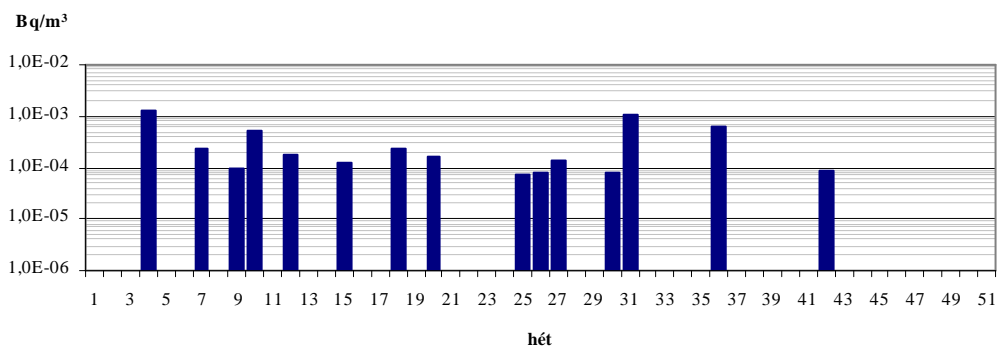
9/f ábra. A levegő ^{131}I tartalma *elemi jód szűrőn történő nagytérfogatú* (5.000 m³/hét) mintavételezéssel a **referencia állomáson** (a kimutatási határ 10 $\mu\text{Bq}/\text{m}^3$)



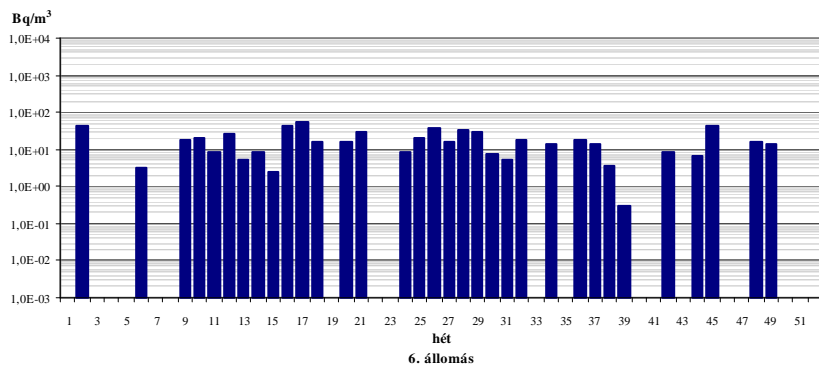
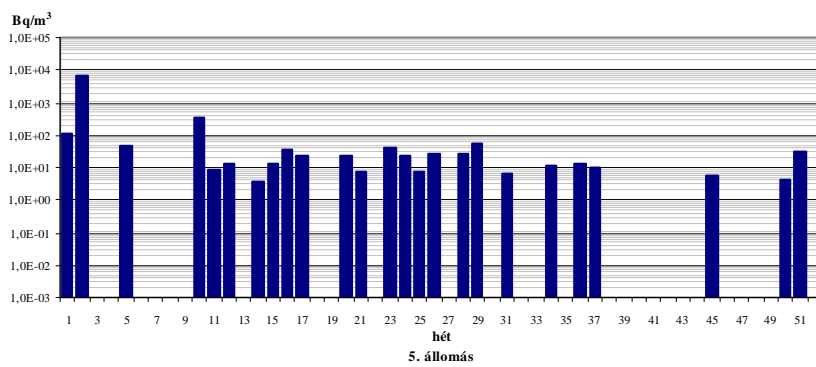
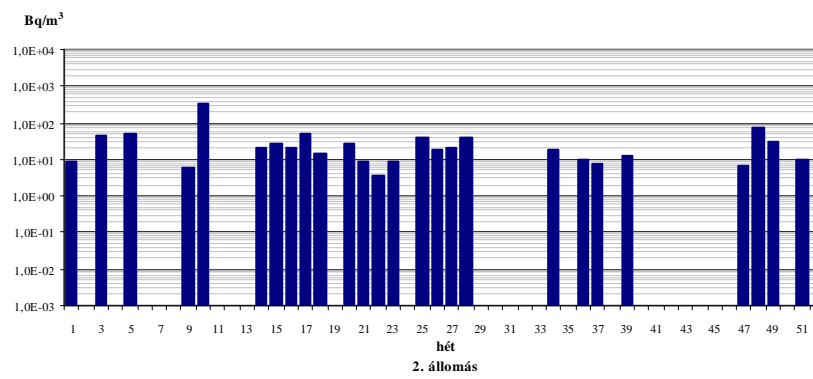
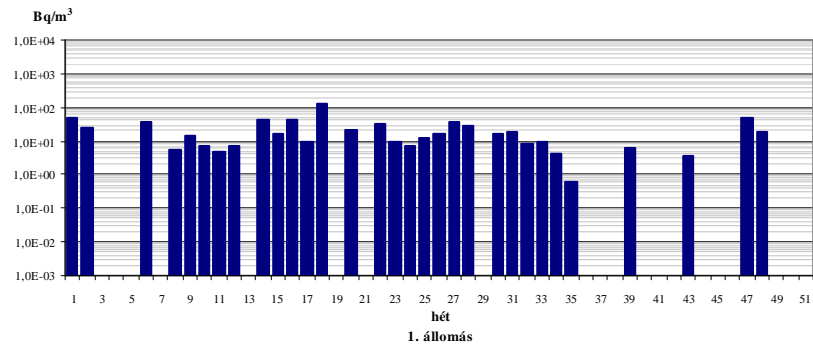
10/a ábra. A levegő ^7Be tartalma *aeroszol szűrőn történő nagytérfogatú* ($10.000 \text{ m}^3/\text{hét}$) mintavételezéssel az **1. állomáson** (a kimutatási határ $59 \mu\text{Bq}/\text{m}^3$) (Világátlag: $3\text{-}10 \text{ mBq}/\text{m}^3$)



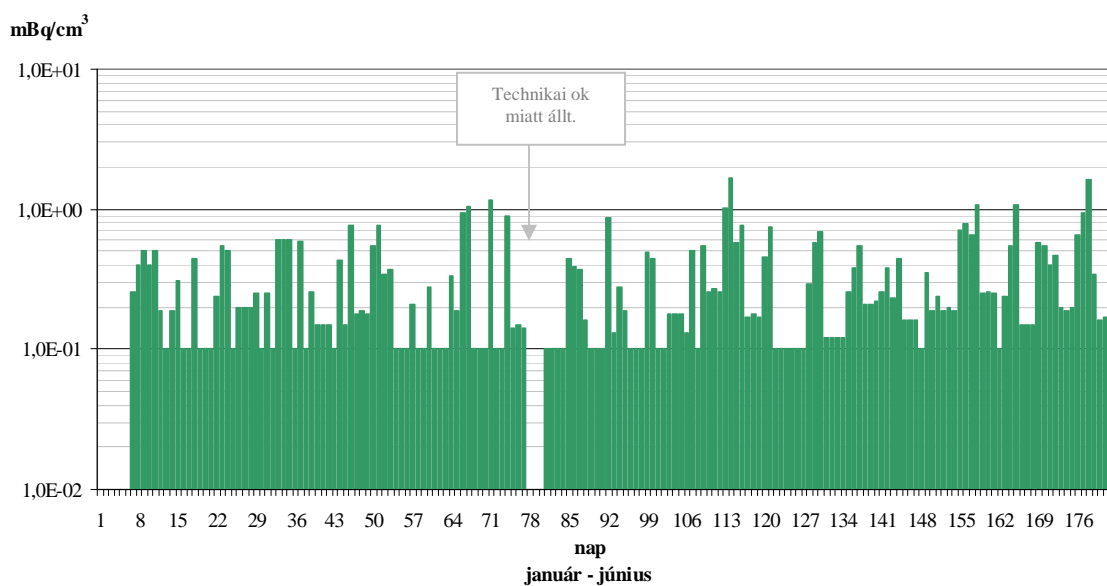
10/b ábra. A levegő ^7Be tartalma *aeroszol szűrőn történő nagytérfogatú* ($5000 \text{ m}^3/\text{hét}$) mintavételezéssel **a referencia állomáson** kimutatási határ $59 \mu\text{Bq}/\text{m}^3$) (Világátlag: $3\text{-}10 \text{ mBq}/\text{m}^3$)



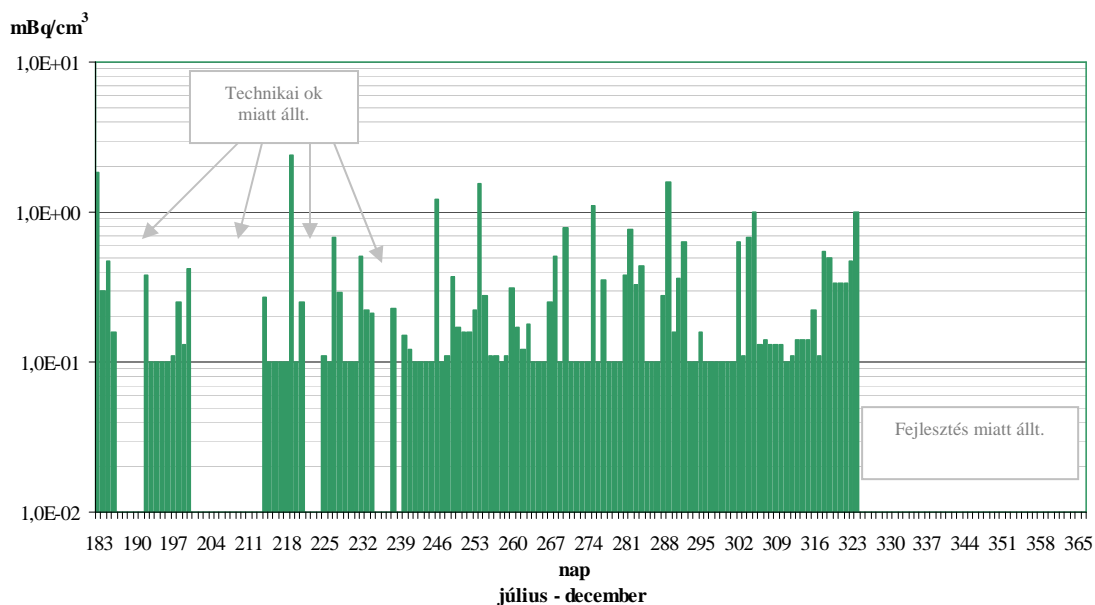
10/c ábra. A levegő ^7Be tartalma *elemi jód szűrőn történő nagytérfogatú* ($5000 \text{ m}^3/\text{hét}$) mintavételezéssel **a referencia állomáson** kimutatási határ $59 \mu\text{Bq}/\text{m}^3$) (Világátlag: $3\text{-}10 \text{ mBq}/\text{m}^3$)



11. ábra. A légköri kihullásból (Fall-out) eredő ⁷Be az 1., 2., 5. és 6. állomáson (kimutatási határ 2,00 Bq/m²)

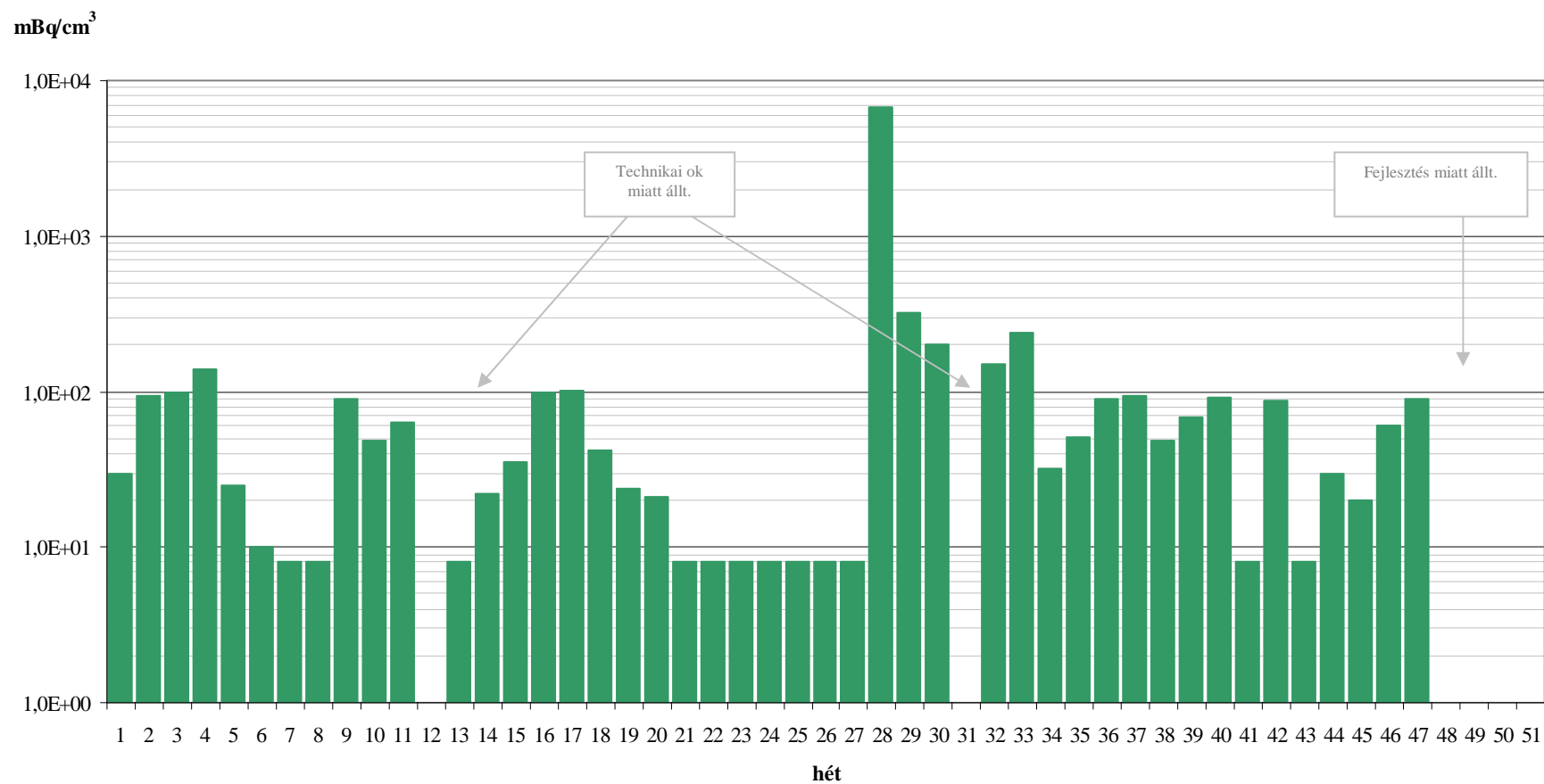


12/a ábra. A telephelyről eltávozó szennyvíz napi átlagos összbeta aktivitás-koncentrációjának alakulása (2008. I. félév, a kimutatási határ 0,1 mBq/cm³)

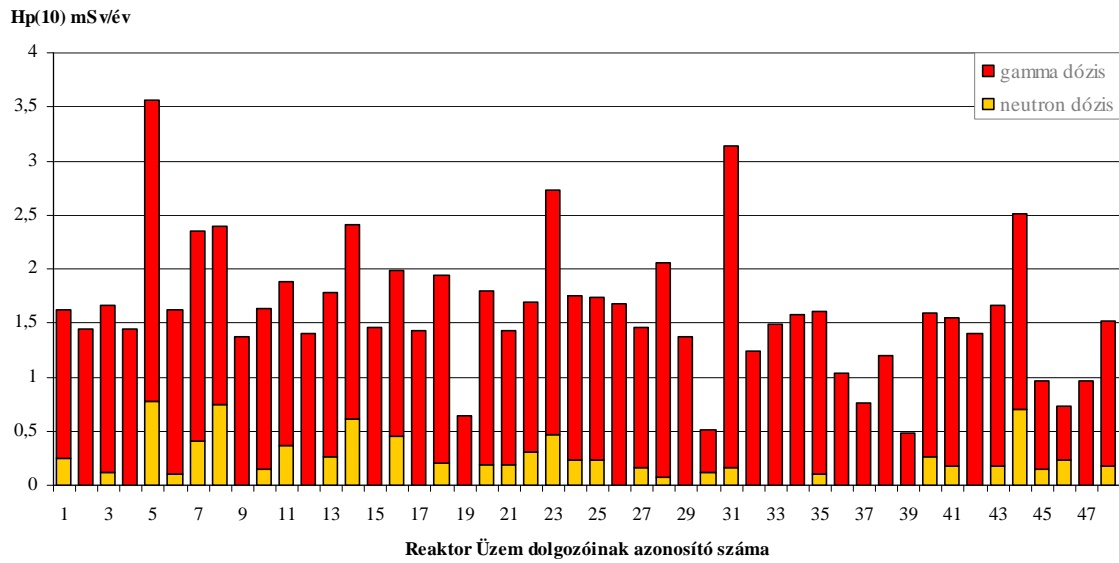


12/b ábra. A telephelyről eltávozó szennyvíz napi átlagos összbeta aktivitás-koncentrációjának alakulása (2008. II. félév, a kimutatási határ 0,1 mBq/cm³)

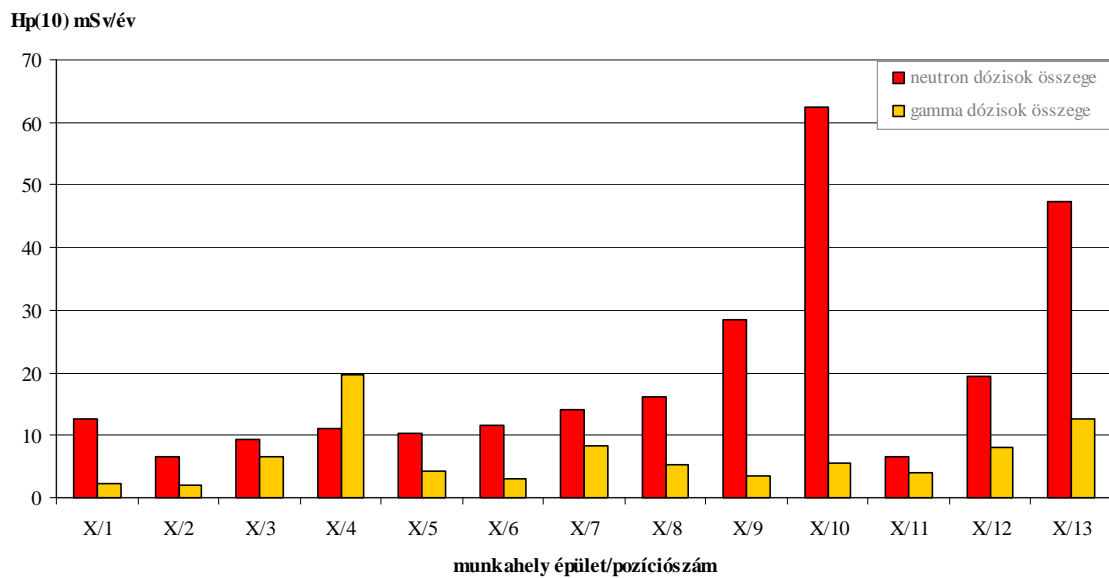
49/64



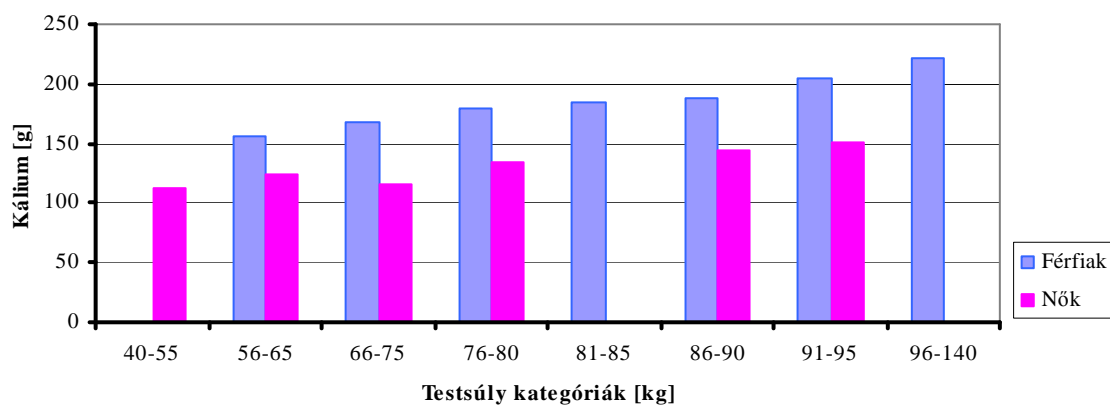
13. ábra. A telephelyről eltávozó szennyvíz trícium aktivitás-koncentrációja 2008-ben (kimutatási határ: 8 mBq/cm³)



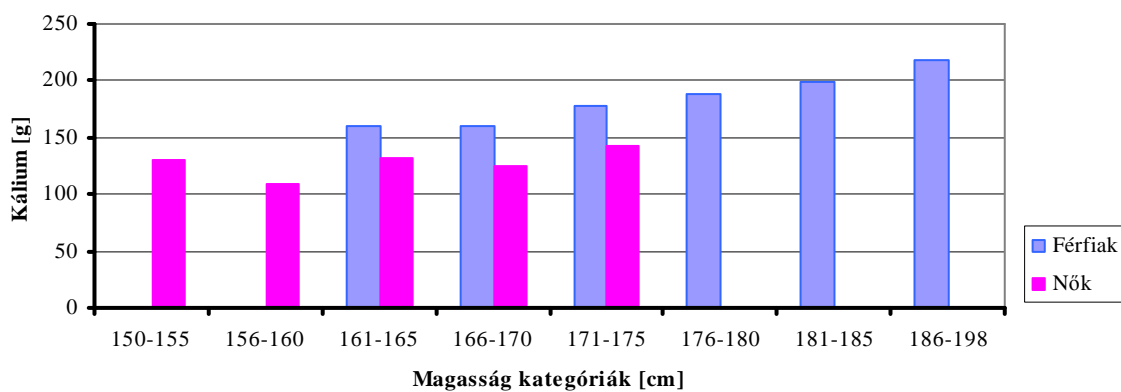
14/a ábra. Személyi TL doziméterekkel (TLD-7776/8814) mért éves dózisadatok a Reaktorüzem dolgozóinál



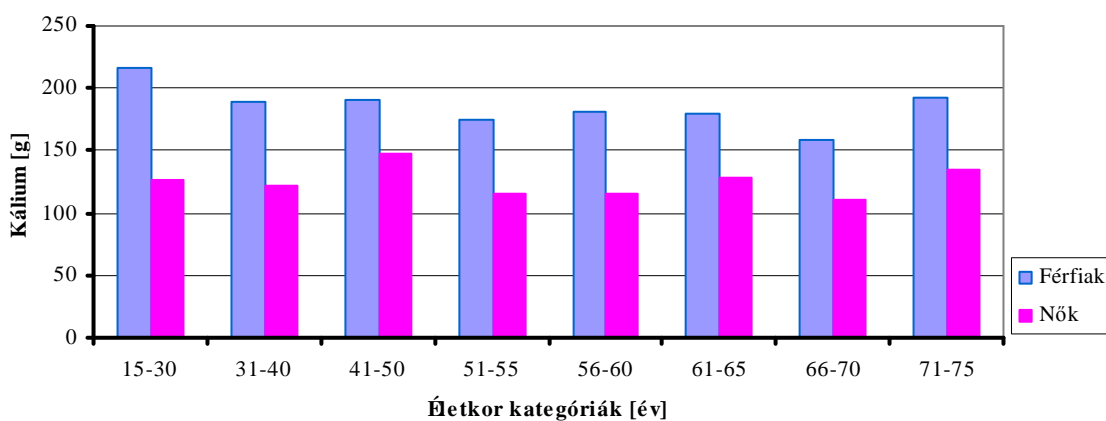
14/b ábra. Munkahelyi TL doziméterekkel (TLD-7776/8814) mért éves dózisadatok a reaktor csarnokban



15/a ábra. A kálium átlagmennyisége a testtömeg függvényében



15/b ábra. A kálium átlagmennyisége a testmagasság függvényében



15/c ábra. A kálium átlagmennyisége az életkor függvényében